

羟基- α -山椒素与肌原纤维蛋白互作及其麻味感知机制

王帅谦¹, 姜典典¹, 唐洁^{1,2}, 蒋珍菊^{1,2}, 赵婕^{1,2*}

(¹ 西华大学食品与生物工程学院 成都 610039)

(² 川渝共建特色食品重庆市重点实验室 成都 610039)

摘要 花椒中的酰胺类物质羟基- α -山椒素(α -SOH)与蛋白质的相互作用可增强川菜中肉类菜肴的麻味。为明晰肉类加工中二者的结构变化及附着情况,探究热诱导(60, 70, 90 °C)的猪肉肌原纤维蛋白(MPs)与 α -SOH 的互作机制,并通过分子对接解析 α -SOH 的麻味激活机制。结果表明, α -SOH 可增加 α -SOH/MPs 复合物的表面疏水性,促进热处理 MPs 的解聚。 α -SOH 酰胺基团中的 N-H 键易与氨基酸残基之间形成稳定氢键,改变蛋白的亚基聚集状态,从而显著减弱 SDS-PAGE 上大于 45 ku 的条带。荧光图谱和圆二色谱结果证实 α -SOH 导致蛋白二级结构由规则向无序状态转变。适度热处理(60 °C 和 70 °C)的 MPs 更易与 α -SOH 形成复合物,从而降低游离 α -SOH 含量。分子对接结果显示, α -SOH 激活麻味是通过与 TRPV1 受体上的 L681 结合产生。本试验阐明 MPs 与 α -SOH 的互作机制以及激活麻味的机理,可为肉制品加工中的麻味调控提供理论依据。

关键词 肌原纤维蛋白; 羟基- α -山椒素; 互作机制; TRPV1; 麻味

文章编号 1009-7848(2024)04-0080-10 **DOI:** 10.16429/j.1009-7848.2024.04.008

花椒(*Zanthoxylum bungeanum*)是肉制品加工中常见的香辛料,被誉为“八大调味品”之一^[1]。其特殊的香味和独有的麻味,赋予川菜鲜明的地方特色风味。有研究表明,花椒中的麻味物质主要是一系列链状不饱和脂肪酸酰胺类物质,其中羟基- α -山椒素(Hydroxy- α -Sansho, α -SOH)含量最多且具有强烈刺激性,被视为花椒中的主要麻味物质^[2]。目前,国内外对花椒的研究主要集中在花椒的化学组成及其生理功能方面^[3],鲜少有人关注花椒麻味物质对肉制品食用品质的影响。贺文杰^[4]发现花椒中的 β -山椒素能抑制肌肉蛋白的热降解和卤制过程中肌纤维断裂,从而显著改善卤鸭腿的嫩度和保水性,然而其具体作用机制不明确。

在川菜加工中,花椒不仅具有调味^[5]、抗氧化^[6]、抑菌^[7]的功效,其麻味物质还能与肉蛋白相互作用改善其风味。在肉类食品风味形成过程中,肌肉蛋白对风味的贡献主要表现在 2 个方面:一是蛋白质降解生成风味前体化合物^[8],二是蛋白质通

过物理或者化学方式实现对风味成分的吸附与交互作用^[9-10]。Guichard^[11]发现疏水作用是维持蛋白与风味物质相互作用的主要作用力。蛋白质构象与其风味吸附能力密切相关。Shen 等^[12]发现,pH 引导的蛋白结构变化,可通过改变结合位点而影响其对风味物质的吸附。此外,蛋白质的浓度与种类^[13]、温度^[14]都会影响肌肉蛋白与挥发性风味化合物的结合。热处理是肉制品加工中最常见的处理方式,热诱导引起的肌原纤维蛋白(Myofibrillar proteins, MPs) 构象变化会影响其与 α -SOH 相互作用,从而改变肉制品风味。TRPV1 是重要的麻味感知受体,香草酸类化合物能有效激活 TRPV1 受体,从而引起各种感知信号^[15]。目前针对辣椒素和胡椒碱等化合物激活 TRPV1 受体的研究已较为详细,而对于香草酸类中的 α -SOH 激活受体机制还尚不明确。

本试验以猪肉 MPs 和花椒中的麻味物质 α -SOH 为研究对象,从表面疏水性、粒径、Zeta 电位、内源荧光、圆二色谱和游离山椒素含量等 6 个方面,考察热诱导 MPs 与 α -SOH 的作用规律。随后借助分子对接模拟 α -SOH 对 TRPV1 受体的激活,旨在从分子角度提出纯体系下可能存在的麻味感知机制。本文探究花椒麻味物质与热诱导 MPs 的作用规律和分子机制,明晰激活麻味的机

收稿日期: 2023-08-19

基金项目: 四川省科技厅自然科学青年基金项目(2023NSFSC1210);四川省科技厅重点研发项目(2023YFN0015, 2020YFN0151)

第一作者: 王帅谦,男,硕士生

通信作者: 赵婕 E-mail: zhaojie@mail.xhu.edu.cn

理, 对特定风味肉制品的加工调控及麻味产品的开发具有重要的理论指导意义。

1 材料与方法

1.1 材料与试剂

新鲜的猪肉背长肌, 购自成都永辉超市。 α -SOH、EGTA、EDTA、甘氨酸、Tris, 上海麦克林生化科技有限公司; 溴酚蓝、二硫苏糖醇(DTT)、十二烷基硫酸钠(SDS), 上海阿拉丁试剂有限公司。电泳预制胶, 碧云天生物技术有限公司。其它试剂均购自源叶生物技术有限公司; 所有化学品和试剂均为分析纯级。

1.2 设备与仪器

绞肉机 LD-KM202, 广东龙的集团有限公司; 高速分散均质机 FJ300-SH, 上海沪析实业有限公司; 高速离心机 Avanti J-30I, 美国贝克曼库尔特公司; 紫外-可见分光光度计 UV-2600A, 尤尼柯(上海)仪器有限公司; 纳米粒度仪 ZEN3600, 英国马尔文仪器有限公司; 电泳仪 DYCZ-24DN, 北京六一生物科技有限公司; 荧光分光光度计 FLUOROMAX-4, 成都世纪方舟科技有限公司; 圆二色谱仪 Chirascan, 英国 Applied Photophysics 公司。

1.3 方法

1.3.1 样品制备

1.3.1.1 MPs 的提取 参考 Zhao 等^[16]的方法并适当修改。取新鲜的猪肉背长肌经搅碎后, 与 10 mmol/L 的磷酸盐缓冲液 (0.1 mol/L NaCl, 2 mmol/L MgCl₂, 1 mmol/L EGTA, pH 7.0) 混合 (1:4, m/V), 均质 2 次后, 离心 (4 000×g, 15 min, 4 °C), 收集沉淀并重复洗涤 3 次。随后采用 0.1 mol/L NaCl 洗涤 3 次, 经纱布过滤、离心后的沉淀即为 MPs。

1.3.1.2 α -SOH/MPs 复合物的制备 取 10 mg 的 α -SOH 溶于 50 mL 体积分数 30% 的乙醇, 置于 4 °C 冰箱密封避光保存, 得到 α -SOH 母液。将 MPs 溶液分别置于 60, 70, 90 °C 下水浴加热 10 min, 取出、冷却至室温后, 调节蛋白溶液质量浓度为 5 mg/mL。吸取 10 mL 上述蛋白溶液, 加入 0.5 mL α -SOH 母液并置于 4 °C 下以 200 r/min 搅拌 1 h, 4 °C 冰箱孵育 16 h 后得到 α -SOH/MPs 复合物。具体试验分组与命名见表 1。

1.3.2 表面疏水性 参照 Shi 等^[17]的方法并适当

表 1 样品处理与命名

样品处理	未加入 α -SOH	加入 α -SOH
常温	Control	Control+
60 °C水浴加热	60 °C	60 °C+
70 °C水浴加热	70 °C	70 °C+
90 °C水浴加热	90 °C	90 °C+

修改。吸取 1 mL 样品溶液 (5 mg/mL), 加入 200 μ L 溴酚蓝溶液 (1 mg/mL) 混匀, 置于室温下反应 10 min, 离心 15 min (4 000×g) 后取上清液, 10 倍稀释后测定其在波长 595 nm 处的吸光度值, 记为 Abs_{样品}, 并以磷酸盐缓冲液 (10 mmol/L, 0.1 mol/L NaCl, pH 7.0) 作为空白对照组, 记为 Abs_{空白}。表面疏水性以溴酚蓝结合量(BPB bound, μ g)表示:

$$\text{BPB bound } (\mu\text{g}) = 200 \text{ } (\mu\text{g}) \times (\text{Abs}_{\text{空白}} - \text{Abs}_{\text{样品}}) / \text{Abs}_{\text{空白}} \quad (1)$$

1.3.3 粒径与 Zeta 电位 参考申辉^[18]的方法并适当修改。将样品溶液稀释至 1 mg/mL, 分别吸取 1 mL 和 0.75 mL 样品置于粒径和 Zeta 电位的样品池中。分散剂折射率设为 1.33, 颗粒折射率设为 1.57, 颗粒吸收率设为 0.001, 平衡时间 120 s, 每次重复测量 3 次。

1.3.4 十二烷基硫酸钠-聚丙烯酰胺凝胶电泳 (SDS-PAGE) 将样品溶液稀释至 0.2 mg/mL, 取 400 μ L 的样品加入 100 μ L 的还原性缓冲液 (含 DTT), 煮沸 5 min 后离心 (12 000×g, 5 min)。取 15 μ L 上清液加到 4%~20% Tris-Gly 梯度凝胶上, 并在 25 mA 的恒定电流下电泳。电泳完成后, 取下凝胶并用考马斯 R-250 染色 30 min, 然后用体积分数 10% 的冰醋酸和体积分数 10% 的乙醇进行脱色。

1.3.5 内源荧光 将样品溶液稀释至 0.5 mg/mL 置于荧光比色皿中, 设置激发波长和发射波长的狭缝宽度为 5 nm, 激发电压为 500 V, 扫描速度为 300 nm/min; 在激发波长 280 nm 条件下, 采集 300~500 nm 范围内的荧光光谱。每组重复测量 3 次。

1.3.6 圆二色谱 将蛋白质量浓度稀释至 0.2 mg/mL, 并转移到光程为 1 mm 的石英池中。在 20 °C 下, 以氮气为保护气体, 扫描范围为 180~260 nm, 扫描速度为 120 nm/min, 扫描间隔 1 nm 进行圆二

色谱分析。用 CDNN 软件计算蛋白质二级结构含量。

1.3.7 游离山椒素含量 在波长 254 nm 下, 测定不同质量浓度(0~25 μg/mL)α-SOH 溶液的吸光值并绘制标准曲线^[19]。将 α-SOH/MPs 复合物离心处理(4 000×g, 5 min), 吸取上清液; 测定其在波长 254 nm 处的吸光值并根据标准曲线计算游离山椒素的含量。

1.3.8 分子对接 麻味受体 TRPV1 分子的蛋白数据库信息获取自 <https://www.rcsb.org/>(PDB ID: 3J5R)。α-SOH 的 3D 结构从 PubChem 数据库下载(CID: 10084135)。利用 Autodock Vina 软件对 TRPV1 与 α-SOH 进行模拟对接。在对 α-SOH 配体和 TRPV1 受体进行对接前, 加入了极性氢和力场参数, 并且利用蛋白在线分析网址(<https://proteins.plus/>) 预测活性位点, 建立了一个 60 × 60 × 60 的 Grid Box, 中心坐标为 X=1.639, Y=0.694, Z=-23.750。最后获得 50 种对接姿势, 并选择能量最低的一组进行对接分析。通过 Pymol 软件对对接结果进行可视化处理。

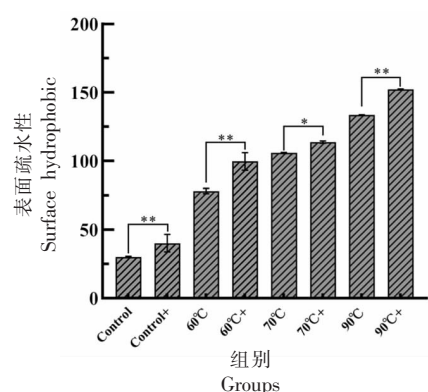
1.4 数据处理与分析

试验至少重复 3 次, 数据以“平均值 ± 标准差”呈现。通过 SPSS 24.0 软件对数据进行 ANOVA 分析; 在置信水平为 0.05 的条件下, 采用邓肯多重极差检验进行显著性分析。

2 结果与分析

2.1 表面疏水性分析

图 1 显示了不同热诱导后 MPs 和 α-SOH/MPs 复合物的表面疏水性。由图可知, 随着温度升高, 表面疏水性呈增加趋势, 这是由于加热导致蛋白变性, 使其结构逐渐展开, 从而导致包埋在蛋白内部的疏水性残基暴露^[20]。与未加热的阴性对照组相比, 加入 α-SOH 后复合物的表面疏水性均显著增加, 其中 Control 组、60℃组、90℃组的差异极显著($P < 0.01$), 70℃组差异显著($P < 0.05$)。这是因为 α-SOH 具有疏水性的长碳链和酰胺基团^[21], 当 α-SOH 与 MPs 非共价结合时, 使得 MPs 的表面更具非极性^[21]。随着疏水基团的过度暴露, 蛋白分子间会通过疏水作用力而聚集^[22], 这一过程可能掩埋了与 α-SOH 发生非共价结合的潜在



注: **. 差异极显著($P < 0.01$); *. 差异显著($P < 0.05$)。
图 1 不同温度的 MPs 和 α-SOH/MPs 复合物的表面疏水性

Fig.1 Surface hydrophobicity of MPs and α-SOH/MPs complexes at different temperatures

位点, 因此 70 ℃组的差异显著性不同于其它组别。而 90 ℃加热后会导致蛋白解聚, MPs 与 α-SOH 发生非共价结合的位点会重新暴露, 因此 90°C+组的表面疏水性呈现极显著增加。

2.2 粒径分析

图 2 为不同热诱导 MPs 和 α-SOH/MPs 复合物的粒径分布图。由图可知, 加热后(60 ℃)蛋白的粒径由(1 878±38.66)nm 增大到(2 578.44±67.83)nm, 当持续加热至 90 ℃后粒径则会逐渐减小至(1 203.665±35.13)nm。这是由于适度加热会诱导蛋白质变性, 暴露的疏水基团经疏水相互作用而产生热聚集^[23]。而过度加热(90 ℃)则会导致 MPs 发生解聚, 使其粒径降低、重新暴露出更多疏水基团, 这与表面疏水性结果相一致。万红兵等^[20]在对牛肉 MPs 的热处理中也观察到了类似现象。此外, 对于 α-SOH/MPs 复合物而言, Control+组的粒径有轻微增加, 而加热组(60°C+组、70°C+组、90°C+组)的粒径均显著降低。这可能是由于加热后 MPs 的二、三级结构变化, α-SOH 的酰胺基团易与氨基酸残基之间形成氢键^[24], 导致原来氨基酸残基之间用于稳定 MPs 结构的氢键更倾向于与 α-SOH 结合, 最终使得蛋白质趋向非稳状态, 呈现较小的粒径分布。而对于未加热的 MPs, α-SOH 则是更多的附着在蛋白表面, 其疏水性的长碳链使得疏水作用力大于亲水作用力, 从而在一定程度上促进了蛋白的聚集, 导致较大的粒径分布。

2.3 Zeta电位分析

Zeta电位能反映体系的稳定性，当电位值为负值时，表明带负电的氨基酸较多^[25]。图3为不同温度的MPs和 α -SOH/MPs复合物的Zeta电位图。对MPs而言，当温度升高到60℃时，Zeta电位从Control组的(-8.2±0.34)mV升高至(-2.6±0.26)mV；继续加热后Zeta电位值持续降低至(-11.35±0.95)mV(90℃)。这一结果与表面疏水性和粒径分布一致，表明60℃时MPs由于疏水作用力产生了热聚集现象，从而屏蔽了大部分带负电氨基酸，导致电位值升高^[26]。随后电位值的降低则是由于MPs开始解聚，使带负电氨基酸重新暴露。此外，与MPs相比， α -SOH/MPs复合物的Zeta电位值均有一定增加，Zeta电位值的增加表明静电斥力的减小。其中Control+组显著增加($P<0.05$)，70℃+组和90℃+组变化极显著($P<0.01$)，60℃+组变化不显著($P>0.05$)。导致该现象的原因可能是由于具有疏水性的 α -SOH与MPs的疏水性氨基酸更易产生疏水作用力，这不利于静电斥力的产生^[27]。从稳定性的角度分析，静电斥力越小，体系越趋于不稳定状态。结果显示经热处理后，蛋白发生氧化，稳定性降低。此外， α -SOH的加入同样降低了体系稳定性，因此应全面考虑静电斥力、疏水作用力、氢键等作用力对体系稳定性的影响。

2.4 SDS-PAGE分析

图4为不同温度条件下MPs和 α -SOH/MPs复合物的凝胶电泳图。由图可知，当加热温度升高至60℃时，分离胶顶部的大分子条带(>170ku)有轻微加深，表明加热使得MPs发生了热聚集，从而呈现较大的粒径分布(图2)。继续加热至90℃，100~170ku之间的条带逐渐减弱，说明蛋白发生了不同程度的解聚，这与粒径结果相一致。同时，与阴性对照组(60℃组、70℃组、90℃组)相比，加入 α -SOH后大于45ku的条带显著减弱，尤其是70℃+组和90℃+组，其大于170ku部分完全消失。这表明MPs热处理后再加入 α -SOH会促进蛋白的解聚。何蜀峰等^[28]在加热条件下用酶水解鸭肉蛋白，同样发现220ku条带附近的肌球蛋白重链含量明显减少，而40ku附近的肌动蛋白无明显变化。因此推测 α -SOH溶液可能同样具备水

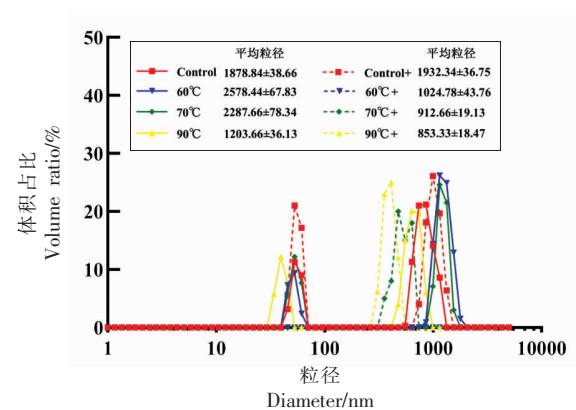
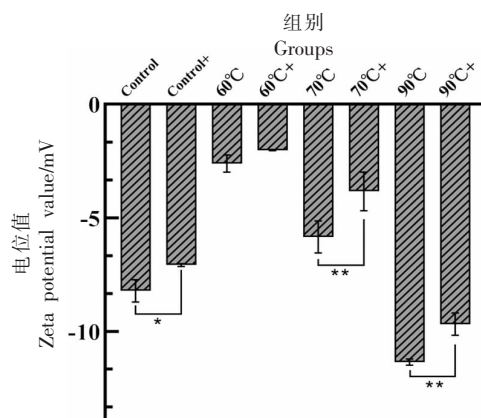


图2 不同温度的MPs和 α -SOH/MPs复合物的粒径分布图

Fig.2 Particle size distribution of MPs and α -SOH/MPs complexes at different temperatures



注：**. 差异极显著($P<0.01$)；*. 差异显著($P<0.05$)。

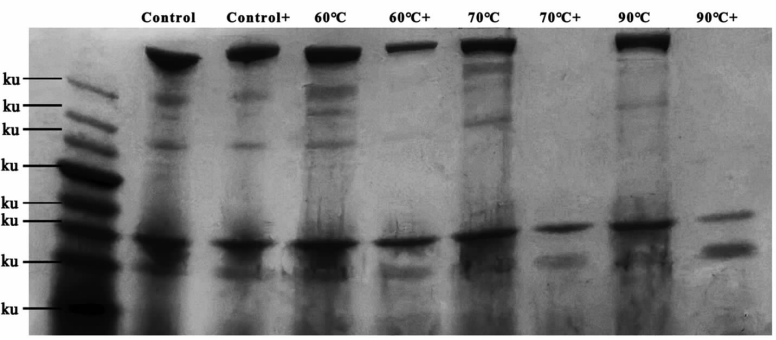
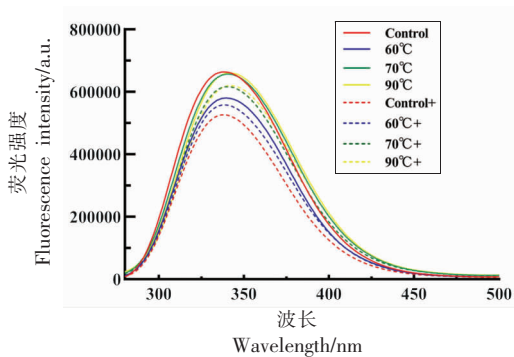
图3 不同温度的MPs和 α -SOH/MPs复合物的Zeta电位图

Fig.3 Zeta potential of MPs and α -SOH/MPs complexes at different temperatures

解蛋白的能力。此外，Zhang等^[29]在研究 α -SOH的结构类似物——辣椒素与 β -乳球蛋白相互作用中同样也发现，常温下加入辣椒素未能破坏蛋白的多聚体状态。

2.5 荧光图谱分析

图5为不同温度的MPs和 α -SOH/MPs复合物的内源荧光图谱。由图可知，与阴性对照组相比，加入 α -SOH后复合物的荧光强度均显著减弱，其中Control+组荧光强度下降最明显。这是由于 α -SOH小分子加入后，在蛋白质分子内发生碰撞引起的猝灭现象^[30]。此外，最大吸收波长(λ_{max})的红移与蓝移同样能反映MPs的三级结构

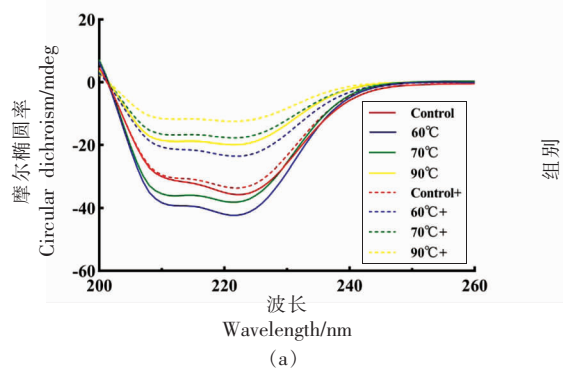
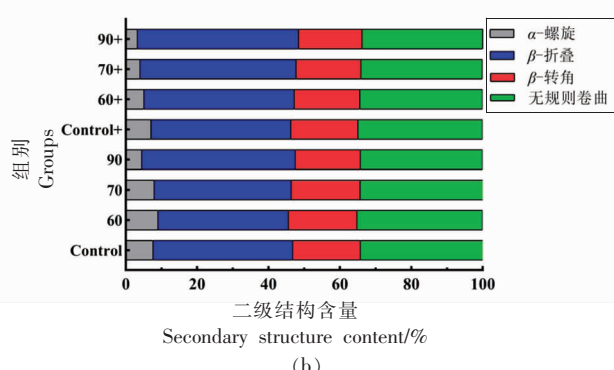
图4 不同温度的MPs和 α -SOH/MPs复合物的凝胶电泳图Fig.4 Gel electrophoresis of MPs and α -SOH/MPs complexes at different temperatures图5 不同温度的MPs和 α -SOH/MPs复合物的内源荧光图谱Fig.5 Endogenous fluorescence profiles of MPs and α -SOH/MPs complexes at different temperatures

变化, λ_{max} 的蓝移表明荧光基团处于更加疏水环境中, 蛋白质结构趋于收缩状态; λ_{max} 的红移表明荧光基团暴露于极性环境, 蛋白质结构趋于舒展^[31-32]。随着温度的升高, MPs 组的 λ_{max} 由 338

nm 轻微蓝移至 337 nm(60 °C), 继续加热至 90 °C 后红移至 342 nm。 α -SOH/MPs 复合物的 λ_{max} 由 336 nm 先轻微蓝移至 335 nm (60 °C) 后红移至 342 nm(90 °C), 这表明加热到 60 °C 时, MPs 之间发生热聚集从而将荧光基团包裹, 继续加热后蛋白聚集体开始解聚, 该过程会重新暴露荧光基团^[23]。

2.6 圆二色谱分析

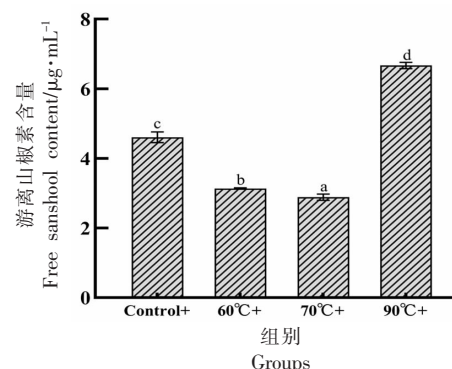
蛋白质二级结构中的肽键是具有一定规律排列的, 不同的二级结构排列所产生的圆二色谱谱带、位置峰的强度均不同^[33]。图 6a 为不同温度的 MPs 和 α -SOH/MPs 复合物的圆二光谱图, 图 6b 为经拟合计算后得到的二级结构含量。由图可知, 与 Control 组 (7.7%) 相比, MPs 经 60 °C 和 70 °C 加热后, 其 α -螺旋含量分别增加至 9.1% 和 8.0%; 继续加热至 90 °C 后, α -螺旋含量转变为 β -折叠, 其含量降低至 7.1%。这表明 60 °C 和 70 °C 加热有助于稳定 MPs 的规则结构; 而 90 °C 加热后 MPs 的

图6 不同温度的MPs和 α -SOH/MPs复合物的圆二光谱图(a)Fig.6 Circular dichroism (a) and secondary structure distribution (b) of MPs and α -SOH/MPs complexes at different temperatures图6 不同温度的MPs和 α -SOH/MPs复合物的圆二光谱图(b)

结构更趋于无序状态^[34]。在同一加热温度条件下,加入 α -SOH后 α -螺旋含量均有显著降低, β -折叠和 β -转角含量增加。这可能是由于加热改变了MPs结构并增强了体系能量,这促进了 α -SOH与氨基酸残基的相互作用,而 α -SOH酰基基团中的N-H键具有较强极性,容易与羧基、羟基等形成稳定氢键^[35],使得原本用于稳定蛋白质 α -螺旋结构的氢键会转而与 α -SOH结合,这一结果与粒径和SDS-PAGE的结论一致。

2.7 游离山椒素含量分析

为了探究热诱导引起的MPs构象变化对 α -SOH吸附作用的影响,分析了不同温度下 α -SOH/MPs复合物的游离山椒素含量变化(图7)。由图可知,与Control+组相比,60℃+组和70℃+组的游离山椒素含量均显著下降($P < 0.05$);继续加热至90℃时,游离山椒素含量又显著升高($P < 0.05$)。该现象与 α -SOH的附着位置和结合程度有关。加热后的MPs与 α -SOH孵育时, α -SOH一部分附着在MPs表面,一部分则被包裹在MPs内部。就 α -SOH与MPs结合的驱动力而言,由于 α -SOH酰胺基团的氨基氮附着在脂肪族烷基RCH₂-上,对氨基氮产生电子排斥效应,导致氮原子上的电子云密度增加,其孤电子对难以与其它原子结合形成共价键^[36-37],因此 α -SOH与MPs之间主要以疏水作用力和氢键等非共价键为主。结合内源荧光与表面疏水性分析,热处理后MPs结构先展开,随后在疏水作用力下会发生聚集,在此过程中 α -SOH容易被包裹至MPs或蛋白聚集体内部,因此60℃组和70℃组所检测出的游离 α -SOH含量较少。当加热至90℃时,蛋白聚集体会发生解聚, α -SOH未能得到有效包裹,且与MPs结合的作用



注:不同字母表示组间具有显著差异($P < 0.05$)。

图7 不同温度的 α -SOH/MPs复合物的游离山椒素含量

Fig.7 Free sansho content of α -SOH/MPs complexes at different temperatures

力较弱,离心之后便会重新进入游离状态。

2.8 分子对接

TRPV1受体的激活需要配体、质子或热刺激^[38]。如图8所示,TRPV1每段亚基主要由S1-S6六块结构域组成,S6末端形成中心孔道,3处最窄点的残基为M644、G643和I679^[39]。在激活TRPV1受体后,Ca²⁺等阳离子则会通过通道流入细胞引起电信号从而形成风味感知。Yang等^[40]通过分子对接模拟了辣椒素与TRPV1受体对接情况,发现其“头部”和“尾部”分别与E571和T551形成稳定氢键。Dong等^[41]则发现胡椒碱不同于辣椒素,它是直接与S6上的T670对接从而打开通道。本文通过分子对接模拟方式来验证 α -SOH激活TRPV1受体的方式,结果如图9和图10所示。 α -SOH与TRPV1受体对接位置位于4条链所形成的空腔位置,对 α -SOH形成了良好的包裹。图10呈现了 α -SOH与TRPV1受体局部对接情况,可以发现

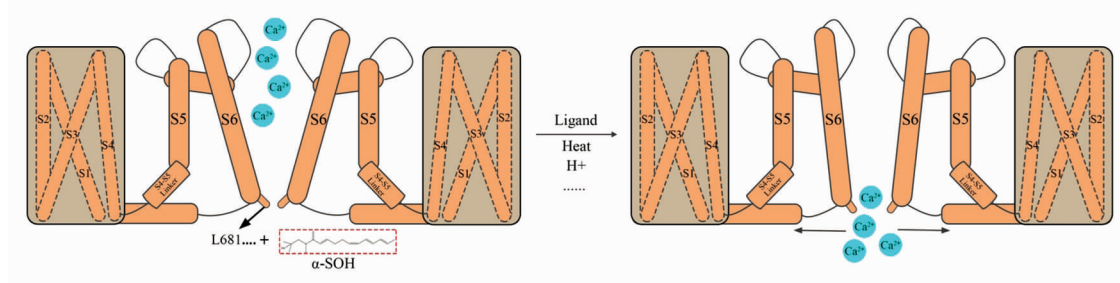


图8 TRPV1通道激活示意图^[15]

Fig.8 Schematic diagram of TRPV1 channel activation^[15]

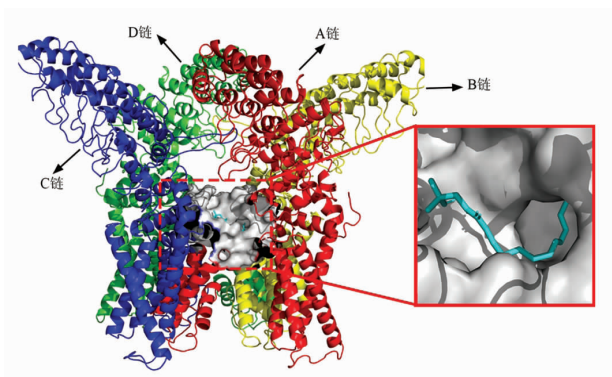


图 9 α -SOH 与 TRPV1 受体对接整体图
Fig.9 Overall diagram of α -SOH docking with TRPV1 receptor

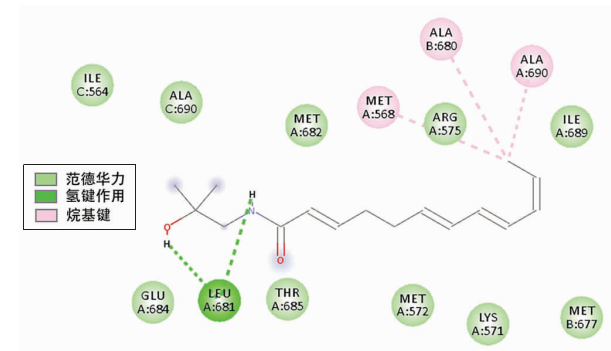
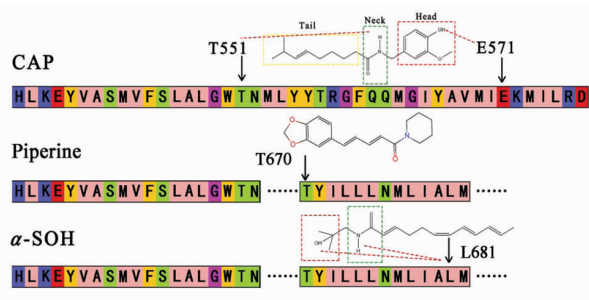


图 10 α -SOH 与 TRPV1 受体对接平面图
Fig.10 Plan view of α -SOH docking with TRPV1 receptors

TRPV1 的 4 条链均有参与 α -SOH 的作用，这可能有助于二者之间形成稳定的结合。其中 α -SOH 的“头部”-OH 和“颈部”酰胺基团均与 L681 氨基酸各形成 1 条氢键，为稳定对接结构提供较强作用力。相对于“头部”与“颈部”的极性基团，“尾部”疏水性长碳链难以与氨基酸之间形成较多的作用力。因此可见，与其它酰胺类物质辣椒素(CAP)和胡椒碱(Piperine)相比， α -SOH 激活 TRPV1 受体方式更接近于胡椒碱(图 11)，通过直接对接 S6 末端中心孔道的氨基酸从而打开通道。

3 结论

本试验通过 SDS-PAGE、圆二色谱等分析方法，探究了热诱导 MPs 与 α -SOH 的互作机制。随着热处理温度的升高，MPs 会因疏水相互作用先发生热聚集而后降解。 α -SOH 的加入会促进热处理 MPs 的降解，使加热后 MPs 的大分子条带(>170 ku)减弱，诱导蛋白的 α -螺旋结构向 β -折叠和 β -转角转变。热处理 MPs 结构从规则向无序状态转变的过程中，会改变蛋白对 α -SOH 的表面吸附或物理包裹状态，其中 60 ℃或 70 ℃加热的 MPs 更有利于形成较稳定的 α -SOH/MPs 复合物。 α -SOH 通过与 TRPV1 受体的 L681 结合从而激活麻味。本试验明晰了肉制品热加工过程中蛋白的结构变化及其与 α -SOH 的互作机制，探索了 α -SOH 引起的麻味感知机理，可为川菜肉类菜肴的麻味吸附和保持提供理论基础。



注:CAP:辣椒素;Piperine:胡椒碱。
图 11 CAP、Piperine、 α -SOH 对接 TRPV1 受体氨基酸位点示意图
Fig.11 Schematic diagram of amino acid sites of CAP, Piperine, and α -SOH docked to TRPV1 receptor

参 考 文 献

- [1] ZHUO Z H, XU D P, PU B, et al. Predicting distribution of *Zanthoxylum bungeanum* Maxim. in China[J]. Bmc Ecology, 2020, 20(1): 1-10.
- [2] LUO J J, HOU X Y, LI S S, et al. Degradation and transformation mechanisms of numbing substances: Hydroxyl- α -sanshool & hydroxyl- β -sanshool from *Zanthoxylum bungeanum* exposed to acid environment[J]. Food Chemistry, 2022, 14: 100342.
- [3] XIAO S, ZHANG Y Q, SONG P P, et al. The investigation of allosteric regulation mechanism of analgesic effect using SD rat taste bud tissue biosensor[J]. Biosensors and Bioelectronics, 2019, 126: 815-823.

- [4] 贺文杰. 三种常用香辛料的主效成分对卤鸭腿品质影响及机理研究[D]. 武汉: 武汉轻工大学, 2021.
- HE W J. Study on the effect and mechanism of main ingredients of three common spices on the quality of braised duck legs [D]. Wuhan: Wuhan Polytechnic University, 2021.
- [5] 徐丹萍, 蒲彪, 叶萌, 等. 花椒中麻味物质的呈味机理及制备方法研究进展[J]. 食品科学, 2018, 39(13): 304–309.
- XU D P, PU B, YE M, et al. A review on the mechanism of the perception of pungent compounds in prickly ash and methods for their preparation[J]. Food Science, 2018, 39(13): 304–309.
- [6] BABUSKIN S, BABU P A S, SASIKALA M, et al. Antimicrobial and antioxidant effects of spice extracts on the shelf life extension of raw chicken meat[J]. International Journal of Food Microbiology, 2014, 171: 32–40.
- [7] 阙建全, 陈科伟, 任廷远, 等. 花椒麻味物质的生理作用研究进展[J]. 食品科学技术学报, 2018, 36(1): 11–17.
- KAN J Q, CHEN K W, REN T Y, et al. Review on physiological function of alkylamide compounds from *Zanthoxylum bungeanum* [J]. Journal of Food Science and Technology, 2018, 36(1): 11–17.
- [8] CHEN Q A, LIU Q A, SUN Q X, et al. Flavour formation from hydrolysis of pork sarcoplasmic protein extract by a unique LAB culture isolated from Harbin dry sausage[J]. Meat Science, 2015, 100: 110–117.
- [9] GUICHARD E. Interactions between flavor compounds and food ingredients and their influence on flavor perception[J]. Food Reviews International, 2002, 18(1): 49–70.
- [10] WANG H T, ZHU J M, ZHANG H W, et al. Understanding interactions among aldehyde compounds and porcine myofibrillar proteins by spectroscopy and molecular dynamics simulations[J]. Journal of Molecular Liquids, 2022, 349: 118190.
- [11] GUICHARD E. Flavour retention and release from protein solutions[J]. Biotechnology Advances, 2006, 24(2): 226–229.
- [12] SHEN H, ZHAO M M, SUN W Z. Effect of pH on the interaction of porcine myofibrillar proteins with pyrazine compounds[J]. Food Chemistry, 2019, 287: 93–99.
- [13] WANG K, ARNTFIELD S D. Binding of carbonyl flavours to canola, pea and wheat proteins using GC/MS approach [J]. Food Chemistry, 2014, 157: 364–372.
- [14] VENTANAS S, MUSTONEN S, PUOLANNE E, et al. Odour and flavour perception in flavoured model systems: Influence of sodium chloride, umami compounds and serving temperature[J]. Food Quality and Preference, 2010, 21(5): 453–462.
- [15] 魏鑫森, 杨启帆, 田家豪, 等. TRPV1通道的功能、门控机制及其调节剂在药物研发中的应用[J]. 生物化学与生物物理进展, 2023, 50(3): 421–436.
- WEI X M, YANG Q F, TIAN J H, et al. The function and gating mechanism of TRPV1 channel and the application of its modulators in drug research and development[J]. Progress in Biochemistry and Biophysics, 2023, 50(3): 421–436.
- [16] ZHAO X C, QI J, FAN C X, et al. Ultrasound treatment enhanced the ability of the porcine myofibrillar protein to bind furan compounds: Investigation of underlying mechanisms[J]. Food Chemistry, 2022, 384: 132472.
- [17] SHI H B, KHAN I A, ZHANG R Y, et al. Evaluation of ultrasound-assisted L-histidine marination on beef M. semitendinosus: Insight into meat quality and actomyosin properties[J]. Ultrasonics Sonochemistry, 2022, 85: 105987.
- [18] 申辉. 猪肉肌原纤维蛋白与特定风味化合物的相互作用机制研究[D]. 广州: 华南理工大学, 2019
- SHEN H. The interaction mechanism of porcine myofibrillar proteins with typical flavor compounds[D]. Guangzhou: South China University of Technology, 2019.
- [19] 江燕竹. 花椒麻味物质的分离纯化以及抗氧化性能研究[D]. 成都: 西华大学, 2016.
- JIANG Y Z. Isolation, purification and antioxidative properties of numb-taste components from *Zanthoxylum bungeanum* [D]. Chengdu: Xihua University, 2016.
- [20] 万红兵, 李海鹏, 雷元华, 等. 烹饪熟度对牛肉肌原纤维蛋白结构特性和氧化特性的影响[J]. 食品科学, 2021, 42(13): 17–25.
- WAN H B, LI H P, LEI Y H, et al. Effect of degree of doneness on structural and oxidation properties of beef myofibrillar protein[J]. Food Science, 2021, 42(13): 17–25.

- [21] JIA N, WANG L T, SHAO J H, et al. Changes in the structural and gel properties of pork myofibrillar protein induced by catechin modification [J]. Meat Science, 2017, 127: 45–50.
- [22] GAO R C, SHI T, SUN Q C, et al. Effects of *L*-arginine and *L*-histidine on heat-induced aggregation of fish myosin: Bighead carp (*Aristichthys nobilis*) [J]. Food Chemistry, 2019, 295: 320–326.
- [23] 畅鹏, 杜鑫, 杨东晴, 等. 蛋白质热聚集行为机理及其对蛋白质功能特性影响的研究进展[J]. 食品工业科技, 2018, 39(24): 318–325.
CHANG P, DU X, YANG D Q, et al. Research progress on the mechanism of protein thermal aggregation behavior and its influence on functional properties of protein[J]. Science and Technology of Food Industry, 2018, 39(24): 318–325.
- [24] LIANG K, ZHAO J B, ZHANG G G, et al. Bio-based cross-linked polyitaconamides synthesized through a Michael ene-amine addition and bulk polycondensation [J]. Journal of Polymer Research, 2020, 27(3): 1–10.
- [25] 张旭东, 斯琴其木格, 曾睿, 等. 不同热处理条件下羊血浆蛋白体外模拟消化研究[J]. 食品安全质量检测学报, 2022, 13(18): 6049–6056.
ZHANG X D, SI Q Q M G, ZENG R, et al. Research on *in vitro* digestion of sheep plasma protein under different heat treatment conditions[J]. Journal of Food Safety & Quality, 2022, 13(18): 6049–6056.
- [26] CHEN Q, KONG B H, HAN Q, et al. The role of bacterial fermentation in the hydrolysis and oxidation of sarcoplasmic and myofibrillar proteins in Harbin dry sausages[J]. Meat Science, 2016, 121: 196–206.
- [27] 张兴, 杨玉玲, 马云, 等. pH对肌原纤维蛋白及其热诱导凝胶非共价键作用力与结构的影响[J]. 中国农业科学, 2017, 50(3): 564–573.
ZHANG X, YANG Y L, MA Y, et al. Effects of pH on the non-covalent forces and structure of myofibrillar protein and heat induced gel[J]. Scientia Agricultura Sinica, 2017, 50(3): 564–573.
- [28] 何蜀峰, 李孟孟, 孙杨羸. 水解对低盐鸭肉肌原纤维蛋白结构和功能特性的影响[J/OL]. 食品工业科技: 1–14. (2023–07–05)[2023–08–19]. <https://doi.org/10.13386/j.issn1002–0306.2023040162>.
- HE S F, LI M M, SUN Y Y. Effect of hydrolysis on structure and properties of duck myofibrillar protein in low-salt condition[J/OL]. Science and Technology of Food Industry: 1–14. (2023–07–05)[2023–08–19]. <https://doi.org/10.13386/j.issn1002–0306.2023040162>.
- [29] ZHANG L, WANG P, YANG Z Y, et al. Molecular dynamics simulation exploration of the interaction between curcumin and myosin combined with the results of spectroscopy techniques[J]. Food Hydrocolloids, 2020, 101: 105455.
- [30] SHI J H, PAN D Q, WANG X X, et al. Characterizing the binding interaction between antimalarial artemether (AMT) and bovine serum albumin (BSA): Spectroscopic and molecular docking methods[J]. Journal of Photochemistry and Photobiology B: Biology, 2016, 162: 14–23.
- [31] ZHANG Z Y, REGENSTEIN J M, ZHOU P, et al. Effects of high intensity ultrasound modification on physicochemical property and water in myofibrillar protein gel[J]. Ultrasonics Sonochemistry, 2017, 34: 960–967.
- [32] 王正雯, 田宏伟, 周富裕, 等. 加热温度对麻鸭肌原纤维蛋白结构与凝胶特性的影响[J]. 食品科学, 2020, 41(13): 61–68.
WANG Z W, TIAN H W, ZHOU F Y, et al. Effect of heating temperature on myofibrillar protein structure and gel properties of sheldrake breast muscle[J]. Food Science, 2020, 41(13): 61–68.
- [33] 陈怡静, 李萍, 康雨薇, 等. 干热处理对杏鲍菇蛋白质功能和结构的影响[J]. 食品研究与开发, 2022, 43(19): 103–108.
CHEN Y J, LI P, KANG Y W, et al. Effect of dry heat treatment on the function and structure of *Pleurotus eryngii* protein[J]. Food Research and Development, 2022, 43(19): 103–108.
- [34] QI J, ZHANG W W, FENG X C, et al. Thermal degradation of gelatin enhances its ability to bind aroma compounds: Investigation of underlying mechanisms[J]. Food Hydrocolloids, 2018, 83: 497–510.
- [35] SUN X X, ZHANG D, ZHAO L, et al. Antagonistic interaction of phenols and alkaloids in Sichuan pepper (*Zanthoxylum bungeanum*) pericarp[J]. Industrial Crops and Products, 2020, 152: 112551.
- [36] BADER M, STARK T D, DAWID C, et al. All-trans-configuration in *Zanthoxylum* alkylamides swaps the tingling with a numbing sensation and diminish-

- es salivation [J]. Journal of Agricultural and Food Chemistry, 2014, 62(12): 2479–2488.
- [37] KUROKI S, HAGURA N, NISHIDA S, et al. Sanshool on the fingertip interferes with vibration detection in a rapidly-adapting (RA) tactile channel[J]. PloS One, 2016, 11(12): e0165842.
- [38] GAO Y, CAO E H, JULIUS D, et al. TRPV1 structures in nanodiscs reveal mechanisms of ligand and lipid action[J]. Nature, 2016, 534(7607): 347.
- [39] LIAO M F, CAO E H, JULIUS D, et al. Structure of the TRPV1 ion channel determined by electron cryo-microscopy[J]. Nature, 2013, 504(7478): 107.
- [40] YANG F, VU S, YAROV-YAROVOY V, et al. Rational design and validation of a vanilloid-sensitve TRPV2 ion channel[J]. Proceedings of the National Academy of Sciences of the United States of America, 2016, 113(26): E3657–E3666.
- [41] DONG Y W, YIN Y, VU S M, et al. A distinct structural mechanism underlies TRPV1 activation by piperine [J]. Biochemical and Biophysical Research Communications, 2019, 516(2): 365–372.

The Interaction between Hydroxy- α -Sanshool and Myofibrillar Proteins and Its Numbness Taste Perception Mechanism

Wang Shuaiqian¹, Jiang Diandian¹, Tang Jie^{1,2}, Jiang Zhengju^{1,2}, Zhao Jie^{1,2*}

(¹School of Food and Bioengineering, Xihua University, Chengdu 610039

²Chongqing Key Laboratory of Speciality Food Co-Built by Sichuan and Chongqing, Chengdu 610039)

Abstract Hydroxy- α -sanshool (α -SOH), an amide in peppercorns, interacts with proteins to enhance the numbness of meat dishes in Sichuan cuisine. In order to clarify the structural changes and attachment of the two in meat processing, this experiment explored the mechanism of heat-induced (60, 70, 90 °C) interactions between pork myofibrillar proteins (MPs) and α -SOH, and resolved the mechanism of numbness activation of α -SOH by molecular docking. The results showed that α -SOH increases the surface hydrophobicity of α -SOH/MPs complexes and promotes the depolymerization of heat-treated MPs. Moreover, the N–H bond in the amide group of α -SOH readily formed stabilizing hydrogen bonds between amino acid residues and altered the subunit aggregation state of the protein, thereby significantly attenuating the bands larger than 45 ku on SDS-PAGE. Fluorescence mapping and circular dichroism results confirmed that α -SOH leads to the transition of protein secondary structure from a regular to a disordered state. Moderately heat-treated (60 °C and 70 °C) MPs were more likely to form complexes with α -SOH, thus reducing the free α -SOH content. The molecular docking results showed that α -SOH activation of hemp flavor was produced by binding to L681 on the TRPV1 receptor. This experiment elucidates the mechanism of interaction between MPs and α -SOH as well as the mechanism of activation of numbness, which can provide a theoretical basis for the regulation of numbness in the processing of meat products.

Keywords myofibrillar proteins; hydroxy- α -sanshool; interaction mechanism; TRPV1; numbness